



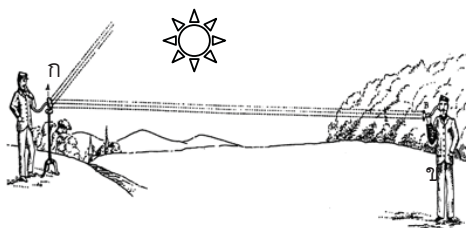
## สัญญาณโฟโต้อคูสติกและการประยุกต์ใช้งาน

### Photoacoustic Signal and Its Application

มีชัย โลหะการ<sup>1</sup>

#### 1. บทนำ (Introduction)

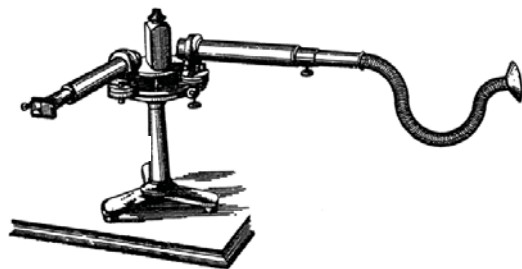
บทความวิชาการนี้นำเสนอเรื่องสัญญาณโฟโต้อคูสติก และการประยุกต์ใช้งาน โดยโฟโต้อคูสติก (Photoacoustic) มาจากคำว่า แสง (Photo) และเสียง (Acoustic) หมายถึง การสร้างเสียงจากแสง การศึกษาเกี่ยวกับแสงและเสียง เกิดขึ้นในปีพ.ศ.2423 เมื่อ อเล็กซานเดอร์ เกรแฮม เบลล์ (A. G. Bell) ทดลองความเป็นไปได้ในการสื่อสารด้วย เสียงโดยใช้แสง [1] เข้าพบว่าเมื่อนำแสงที่มีความเข้มหรือ ถูกไฟฟักให้เป็นลำแสงนำมาผูกกับเสียงแล้วส่งไปยัง ปลายทางซึ่งมีตัวรับแบบพิเศษสามารถได้ยินเสียงจาก ด้านหน้า ดังแสดงในรูปที่ 1 ตำแหน่ง ก เป็นตัวส่งที่มีจาก รับแสงอาทิตย์และผู้ส่งพูดใส่ก่อนนำเสียงซึ่งจะทำการผสม เสียงของผู้พูดกับแสงอาทิตย์ โดยลำแสงที่ออกจากตัวส่ง ถูกฉายไปยังตัวรับซึ่งจะทำการเปลี่ยนแสงเป็นเสียงดังนั้น ผู้รับ ณ ตำแหน่ง ข จะได้ยินเสียงหรือข้อความจากผู้ส่งได้



รูปที่ 1 การทดลองของอเล็กซานเดอร์ เกรแฮม เบลล์ [1]

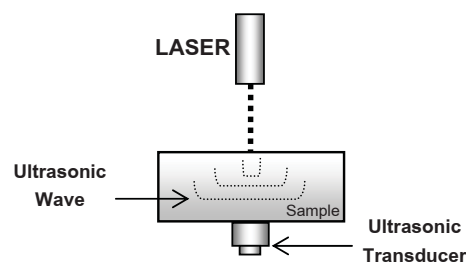
จากนั้นนักวิทยาศาสตร์ผู้นี้ยังได้พัฒนาเครื่องมือที่ใช้ ศึกษาปรากฏการณ์โฟโต้อคูสติก (Photoacoustic Effect) ดังแสดงในรูปที่ 2 เครื่องมือดังกล่าวมีปลายด้านหนึ่งใช้ในการรับแสงในขณะที่ปลายอีกด้านได้ออกแบบ ให้สามารถใช้หูแนบเพื่อฟังเสียงได้ จากการศึกษาเข้า พบร่วัตถุที่มีค่าการดูดกลืนแสง (Light Absorbing

Material) มาจะให้เสียงที่ดังกว่าวัตถุที่มีค่าการดูดกลืน และเสียงน้อย



รูปที่ 2 เครื่องมือที่ใช้ศึกษาปรากฏการณ์โฟโต้อคูสติก [1]

การศึกษาสัญญาณโฟโต้อคูสติกยุคใหม่เริ่มขึ้นในปี พ.ศ.2523 โดยนักวิทยาศาสตร์ชื่อ ดี. อี. ดัชชินส์ (D. A. Hutchins) [2] และปีพ.ศ.2531 โดยนักวิทยาศาสตร์ ชื่อ เชน (Q. X. Chen) และคณะ [3] ได้ตีพิมพ์ผลงานที่ อธิบายถึงการสร้างคลื่นอัลตร้าซาวด์ (Ultrasound) จาก ลำแสงเลเซอร์ (LASER) หลังจากนั้นวิธีการนี้ได้ถูกนำไป ประยุกต์ใช้ในการทดสอบแบบไม่ทำลาย (Non-Destructive Testing : NDT) ดังแสดงในรูปที่ 3



รูปที่ 3 การทดสอบแบบไม่ทำลายโดยใช้โฟโต้อคูสติก

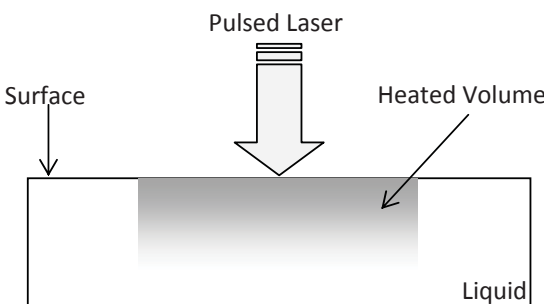
<sup>1</sup> อาจารย์ ภาควิชาครุศาสตร์ไฟฟ้า คณะครุศาสตร์อุตสาหกรรม มหาวิทยาลัยเทคโนโลยีพระจอมเกล้าพระนครเหนือ โทรศัพท์ 0-2913-2500 ต่อ 3331 E-mail: lohakanm@yahoo.com



วัสดุทดสอบ (Sample) ถูกยิงด้วยแสงเลเซอร์ที่ผิวทำให้เกิดคลื่นอัลตร้าซาวด์ในวัสดุ โดยมีทราบส์ติวเชอร์ต่ออยู่อีกด้านของผิววัสดุซึ่งทำการเปลี่ยนคลื่นอัลตร้าซาวด์เป็นสัญญาณไฟฟ้าแล้วนำไปวิเคราะห์ด้วยคอมพิวเตอร์จากประโยชน์จากการที่ไม่ทำลายวัสดุและมีความปลอดภัยมากทั้งยังไม่มีรังสีตกค้างนี้เองไฟฟ้าโดยคลื่นที่ได้ถูกประยุกต์ใช้ในการแพทเทิร์อีกด้วย

## 2. การเกิดไฟฟ้าโดยคลื่น (Photoacoustic Generation)

ไฟฟ้าโดยคลื่นสามารถเกิดขึ้นได้ทั้งในของเหลวและก๊าซ ดังแสดงในรูปที่ 4 กลไกการเกิดมีหลายขั้นตอน กล่าวคือเมื่อวัสดุถูกพัลส์เลเซอร์จะเกิดการพังทลายของไดอิเล็กทริก (Dielectric Breakdown) ความเข้มของเลเซอร์ต้องมีค่ามากกว่า  $10^6 \text{ Wcm}^{-2}$  หากเป็นของเหลวที่บริเวณพื้นผิวที่เลเซอร์ตัดกระบวนการอาจมีของเหลวบางส่วนที่ถูกยิ่นไห้ (Vaporization Process) ในกรณีของน้ำจะใช้พลังงาน  $2,600 \text{ Jcm}^{-3}$  ในการถูกยิ่นไห้ เมื่อเกิดความร้อนขึ้นบริเวณผิวจากการที่เลเซอร์ตัดกระบวนการเป็นช่วง ๆ ของเหลวจะได้รับความร้อนเป็นช่วงจังหวะเช่นกันซึ่งก่อให้เกิดกระบวนการยืดหยุ่นความร้อน (Thermoelastic Process) อีกทั้งไฟฟ้าโดยคลื่นจะไม่ทำให้เกิดปรากฏการณ์ไฟฟ้าโดยคลื่น

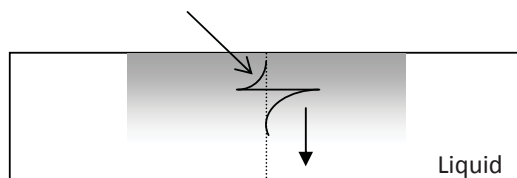


รูปที่ 4 กระบวนการยืดหยุ่นความร้อน

การที่มีความร้อนมาเกี่ยวข้องกับการเกิดคลื่นอัลตร้าซาวด์นั้นบางงานนิยมเรียกไฟฟ้าโดยคลื่นในอีกชื่อว่า เทอร์โมคลื่น (Thermoacoustic) [4] ความร้อน ณ

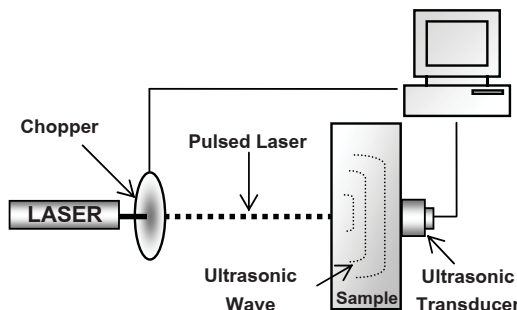
บริเวณที่เลเซอร์ตัดกระบวนการจะเกิดความร้อนขึ้น (Heated Volume) และมีอุณหภูมิสูงที่สุด จากนั้นความร้อนจะกระจายตัวออกด้วยการพาความร้อน ดังนั้นบริเวณที่ไฟฟ้าจากเลเซอร์จะมีอุณหภูมิต่ำกว่า เมื่อความร้อนแพร่กระจายออกไปยังวัสดุในทุกทิศทางจะเกิดไฟฟ้าสถิตย์ขึ้นทำให้เกิดกระบวนการอิเล็กโทรสเตริชัน (Electrostriction) คือการที่วัสดุสามารถเปลี่ยนแรงทางไฟฟ้าเป็นแรงทางกลได้เมื่อเกิดแรงขึ้นก็จะเกิดการกระจายความดัน (Irradiation Pressure) ดังแสดงในรูปที่ 5 คลื่นความดัน (Pressure Wave) เกิดขึ้น ณ ตำแหน่งที่เลเซอร์ตัดกระบวนการจะเกิดแรงดันจากจุดที่เลเซอร์ตัดกระบวนการซึ่งการแพร่กระจายความดันเกิดจากแรงดัน (Stress) เป็นหลักการพื้นฐานของการเกิดคลื่นอัลตร้าซาวด์

Pressure Wave



รูปที่ 5 การกระจายความดัน (Irradiation Pressure)

มีรายงานว่าประสิทธิภาพการเปลี่ยนพลังงานแสงเป็นเสียงในของเหลวเท่ากับ 30%[5] หมายความว่าหากปล่อยแสงที่มีพลังงาน 100% จะทำให้เกิดคลื่นอัลตร้าซาวด์เพียง 30% อีกทั้งไฟฟ้าโดยคลื่นในทางปฏิบัติการสร้างพัลส์เลเซอร์จะทำได้ยากจึงได้มีการคิดค้นการใช้ฉากเพื่อตัดแสง (Chopper) ทำการเปลี่ยนจากเลเซอร์แบบต่อเนื่องเป็นพัลส์เลเซอร์แสดงได้ดังรูปที่ 6 แสงเลเซอร์แบบต่อเนื่องถูกสร้างขึ้นจากก๊าซ Nd:YAG มีความยาวคลื่น (Wavelength)  $1,064 \text{ nm}$  ผ่านฉากตัดที่ถูกควบคุมด้วยคอมพิวเตอร์ซึ่งสามารถควบคุมจังหวะการยิงได้ เช่น 20 Hz หรือ 40 Hz เมื่อพัลส์เลเซอร์ตัดกระบวนการพื้นผิวของวัสดุจึงก่อให้เกิดคลื่นอัลตร้าซาวด์โดยเป็นไปตามกลไกดังที่กล่าวไปแล้วข้างต้น

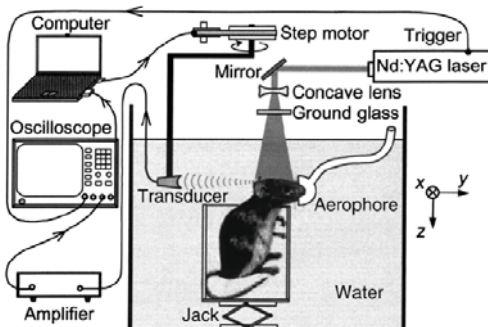


รูปที่ 6 การทดลองสร้างสัญญาณโฟโต้อคูสติก

### 3. การประยุกต์ (Photoacoustic Application)

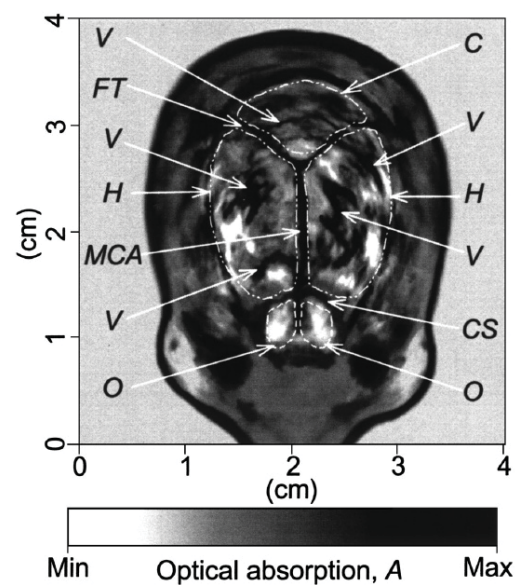
#### 3.1 โฟโต้อคูสติกกับการสร้างภาพทางการแพทย์

การสร้างภาพทางการแพทย์มีประโยชน์มากต่อการวินิจฉัยโรค มีเทคนิคการสร้างภาพมากมายเช่น การใช้เครื่องซีที (Computerized Tomography: CT) หรือเครื่องอัลตร้าซาวด์ pragkaharn โฟโต้อคูสติกเป็นวิธีการใหม่ที่กำลังถูกพัฒนาขึ้นเพื่อใช้ในการสร้างภาพทางการแพทย์เพรากการสร้างภาพแบบนี้ได้รวมคุณประโยชน์ของแสงและเสียงเข้าด้วยกันกล่าวคือแสงให้ภาพที่มีความต่างสูง (High Contrast) ในขณะที่เสียงให้รายละเอียดของภาพ (Image Resolution) ดีมาก [4] ผู้นำในการวิจัยด้านนี้คือ ลิหง วี 旺 (Lihong V. Wang) แห่งห้องปฏิบัติการในมหาวิทยาลัยเท็กซัส เอแอนด์ เอ็ม (Texas A&M University) ประเทศสหรัฐอเมริกา งานวิจัยที่โดดเด่นของเขาก็คือการสร้างภาพสมองของหนูขณะยังมีชีวิตดังรูปที่ 7 [6]



รูปที่ 7 การสร้างภาพสมองของหนูขณะมีชีวิต [6]

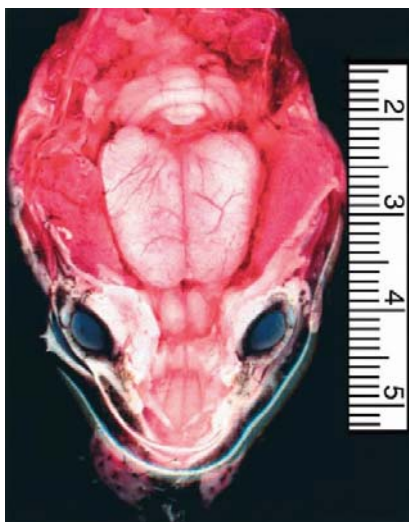
การทดลองได้นำหนูมาโภคบนหัวอกแล้วนำไปแช่อยู่ในน้ำ ทำห่ออากาศ (Aerophore) เพื่อให้หนูหายใจได้ใช้เลเซอร์ชนิด Nd:YAG พร้อมระบบนำแสงถูกจัดให้อยู่ด้านบนมีกระบวนการทำการสะท้อนแสงและเลนส์ช่วยในการกระจายแสงให้ตัดกรายที่หัวหนูอย่างทั่วถึง จากนั้นนำอัลตร้าโซนิกทรายส์ดิวเซอร์ที่มีความถี่คลื่น 20 MHz ยึดอยู่กับแท่นสแกนทำการรับสัญญาณอัลตร้าซาวด์ที่แพร่ออกมายจากหัวของหนู นอกจากนี้จำเป็นต้องหมุนอัลตร้าโซนิกทรายส์ดิวเซอร์รอบหัวหนูทดลองจนครบ 360 องศา ทำให้ได้ข้อมูลโปรเจกชัน (Projection Data) เพื่อใช้ในการสร้างภาพ จากนั้นเมื่อลืมอัลตร้าซาวด์สูกทรายส์ดิวเซอร์เปลี่ยนเป็นสัญญาณไฟฟ้าส่งเข้าสู่ตัวขยาย (Amplifier) เพื่อเพิ่มขนาดของสัญญาณก่อนเข้าดิจิตอล ออสซิลโลสโคปเพื่อทำการแสดงผลและเปลี่ยนสัญญาณและออกเป็นสัญญาณดิจิตอลป้อนเข้าสู่คอมพิวเตอร์เพื่อเก็บข้อมูลต่อไป นอกจากนี้คอมพิวเตอร์ดังกล่าวยังใช้ควบคุมส่วนต่าง ๆ ของการทดลองให้สัมพันธ์กัน เมื่อนำข้อมูลทั้งหมดมาทำการคำนวณและสร้างภาพสมองของหนู แสดงได้ดังรูปที่ 8 สำหรับแสดงถึงค่าการดูดกลืนแสงมากในขณะที่สีเทาแสดงถึงค่าการดูดแสงน้อย และสีขาวแสดงถึงค่าการดูดกลืนแสงต่ำสุด



รูปที่ 8 ภาพที่สร้างจากสัญญาณโฟโต้อคูสติก [6]

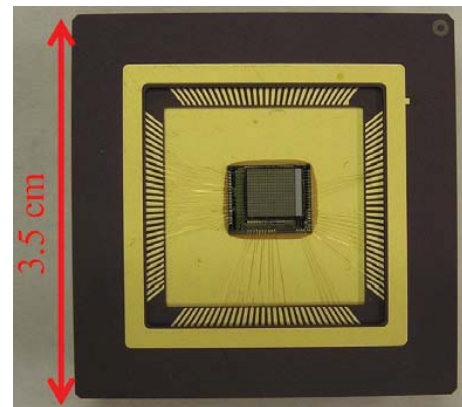


ส่วนต่าง ๆ ของสมองถูกซึ่ดโดยลูกศร โดยเห็นที่นามทดลองมีขนาดของสมองประมาณ  $4 \times 2.5 \text{ mm}^2$  ภาพที่ได้มีความชัดเจนและเห็นรายละเอียดที่มีขนาดเล็กได้โดยงานวิจัยนี้รายงานว่าสามารถตรวจจับวัสดุที่มีขนาด 30  $\mu\text{m}$  ได้ เพื่อเป็นการยืนยันผลการทดลองคณะผู้วิจัยได้ทำการเปิดกะโหลกของหนูแล้วถ่ายภาพไว้แสดงได้ดังรูปที่ 9 เมื่อเปรียบเทียบรูปที่ 8 กับรูปที่ 9 พบว่าการสร้างภาพจากสัญญาณไฟโตอคูสติกมีความถูกต้องและมีรายละเอียดของส่วนประกอบของสมองครบถ้วน นอกจากนี้สัดส่วนของภาพยังคงมีความถูกต้องเช่นกัน ดังนั้นคณะผู้วิจัยจึงสรุปผลการทดลองว่าสามารถใช้สัญญาณไฟโตอคูสติกในการสร้างภาพสมองได้ถูกต้อง และผลที่ได้เป็นที่น่าพอใจจึงอาจประยุกต์ใช้ในการสร้างภาพสมองมนุษย์ได้ในอนาคต



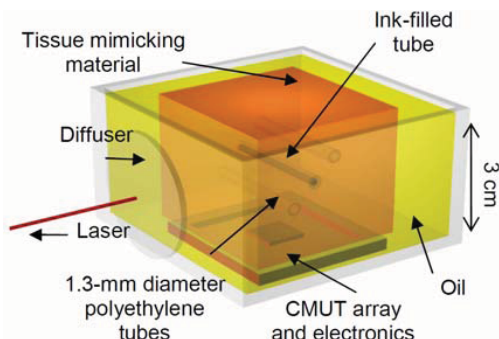
รูปที่ 9 ภาพถ่ายสมองโดยการเปิดกะโหลกของหนู [6]

การประยุกต์ใช้สัญญาณไฟโตอคูสติกในการสร้างภาพสามารถทำได้อย่างมีประสิทธิภาพมากขึ้นโดยการใช้อัลตร้าโซนิคทรานส์ดิวเซอร์อเรย์แบบ 2 มิติ (2D Ultrasonic Transducer Array) [7] ดังแสดงในรูปที่ 10



รูปที่ 10 ทรานส์ดิวเซอร์อเรย์แบบ 2 มิติ [7]

ทรานส์ดิวเซอร์มีขนาดประมาณ  $3.5 \times 3.5 \text{ cm}^2$  แต่ตัวตรวจจับมีขนาดเพียงประมาณ  $4 \times 4 \text{ mm}^2$  วงอยู่ตรงกลางโดยมีวงจรรวมอิเล็กทรอนิกส์อยู่ด้านข้าง จุดเด่นของงานวิจัยนี้อยู่ที่ไม่จำเป็นต้องใช้กลไกในการสแกนภาพให้ครบ 360 องศาเหมือนงานวิจัยก่อนหน้านี้คลื่นอัลตร้าซาวด์ที่ถูกเลเซอร์สร้างขึ้นจะถูกทรานส์ดิวเซอร์ชนิดนี้รับได้หมดซึ่งจะส่งผลโดยตรงให้ภาพมีความละเอียดมากขึ้น ระบบที่ใช้ในการทดลองแสดงในรูปที่ 11 [7] ใช้ล้ำแสงเลเซอร์ที่มีขนาดของเส้นผ่าศูนย์กลาง  $1.3 \text{ mm}$  ให้พลังงาน  $2.3 \text{ mJ}$  ด้วยอัตราการยิง 10 ครั้งต่อวินาที ยิงเข้าสู่กล่องพลาสติกที่มีความสูงประมาณ  $3 \text{ cm}$  มีเนื้อเยื่อผสมเป็นวัสดุทดสอบโดยมีหลอดที่บรรจุน้ำมีกอญญาในเนื้อเยื่อผสมถูกแซะอยู่ในน้ำมันจนหัวมึนถึงผิวด้านบน ใช้อัลตร้าโซนิคทรานส์ดิวเซอร์อเรย์แบบ 2 มิติ ที่มีความถี่คลังอยู่ที่ 5 MHz อันประกอบไปด้วยอัลตร้าโซนิคทรานส์ดิวเซอร์จำนวน  $250 \times 250 \mu\text{m}^2$  จำนวน 256 ตัววางอยู่ด้านล่างของวัสดุทดสอบอัลตร้าโซนิคทรานส์ดิวเซอร์อเรย์แบบ 2 มิติ มีจุดที่น่าสนใจอีกประการคือสามารถเลือกให้อัลตร้าโซนิคทรานส์ดิวเซอร์จัดทำงานตัวเดียวหรือทั้งกลุ่มก็ได้



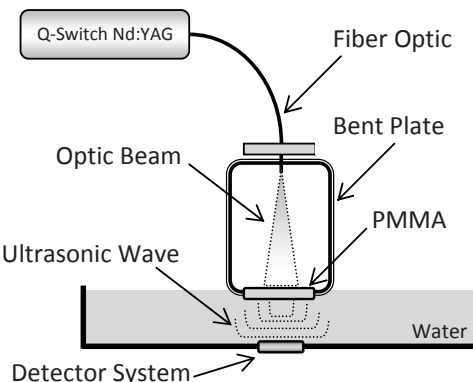
รูปที่ 11 ระบบการสร้างภาพจากทรานส์ดิวเซอร์ 2 มิติ [7]

คณะผู้วิจัยรายงานว่าระบบการทดลองดังกล่าวสามารถใช้สัญญาณไฟโต้คุณติกในการตรวจจับท่อหมึกที่อยู่ภายในเนื้อเยื่อผอสมได้ นอกจากนี้สัญญาณดังกล่าวยังถูกนำมาสร้างภาพ 2 มิติเพื่อแสดงตำแหน่งของท่อหมึกได้อย่างถูกต้อง คณะผู้วิจัยสรุปว่าระบบนี้สามารถช่วยเพิ่มคุณภาพของภาพและลดระยะเวลาในการสแกนได้

### 3.2 ไฟโต้คุณติกกับการหาค่าพารามิเตอร์ของวัสดุ

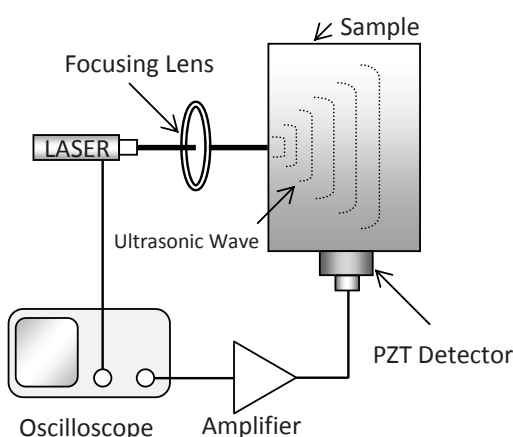
นอกจากการสร้างภาพจากสัญญาณไฟโต้คุณติกที่ใช้อัลตราโซนิกในการรังสีมีการประยุกต์ใช้อีกแนวทางหนึ่งคือใช้หาค่าพารามิเตอร์ต่าง ๆ ของวัสดุทดสอบซึ่งจุดเด่นของวิธีการนี้อยู่ที่สามารถวัดหาพารามิเตอร์ได้โดยไม่ทำลายวัสดุ ดังงานวิจัยจากประเทศอังกฤษได้ทำการทดลองเพื่อหาค่าสัมประสิทธิ์การลดthonของสัญญาณอัลตราชาوار์ด (Ultrasonic Attenuation Coefficient) และความเร็วของคลื่นอัลตราชาوار์ดในวัสดุ โดยใช้อุณหภูมิเป็นตัวแปรต้น ซึ่งพารามิเตอร์ทั้งสองเป็นค่าเฉพาะตัวที่สำคัญของวัสดุ การติดตั้งอุปกรณ์ในการทดลองแสดงได้ดังรูปที่ 12 [8] การทดลองดังกล่าวใช้เลเซอร์ Q-Switch ชนิด Nd:YAG ที่มีความยาวคลื่น 1,064 nm มีความกว้างของสัญญาณกระตุ้น 45 ns ให้พลังงาน 45 mJ ด้วยอัตราการยิง 20 ครั้งต่อวินาที อย่างไรก็ตามการทดลองนี้ไม่ได้บล็อก ลำแสงเลเซอร์ให้กระทบวัสดุทดลองโดยตรง หากแต่ผ่านไนโตรเจนสำเภา (Fiber Optic) ซึ่งลำแสงถูกส่งผ่านเข้าไปภายในกล่องที่สร้างขึ้นมาเฉพาะเพื่อลดแสงรบกวนจากภายนอกใช้ PMMA เป็นตัวดูดซับแสงแล้วส่งคลื่นอัลตราชาوار์ดออกมานอกจากนี้ ทางทดลองมีข้อห่วงโซ่ที่ต้องคำนึงถึงค่าสัมประสิทธิ์การลดthon ที่คำนวณได้มีความถูกต้องและสมพนธ์กันตามทฤษฎีการเมอร์-โครนิก

โดยวัสดุทดสอบต้องถูกแซนในของเหลว ด้านล่างของอ่างมีตัวตรวจจับคลื่นอัลตราชาوار์ด และทำการแปลงเป็นสัญญาณไฟฟ้าส่งต่อให้คอมพิวเตอร์วิเคราะห์ผลการทดลอง โดยคณะผู้วิจัยนี้สรุปว่าค่าความเร็วและค่าสัมประสิทธิ์การลดthonที่คำนวณได้มีความถูกต้องและสมพนธ์กันตามทฤษฎีการเมอร์-โครนิก



รูปที่ 12 การทดลองวัดค่าสัมประสิทธิ์การลดthon [8]

ยิ่งไปกว่านั้นสัญญาณไฟโต้คุณติกยังใช้ในการตรวจสอบการปนเปื้อนของน้ำมันดินในน้ำที่นำเสนอด้วยคณะวิจัยจากประเทศไทย [9] โดยการวัดค่าความเข้มข้น (Concentration) ของของเหลวดังการทดลองที่แสดงในรูปที่ 13 ใช้เลเซอร์ไดโอดที่มีความยาวคลื่น 1,550 nm โดยมีความกว้างของสัญญาณกระตุ้น 200 ns ให้พลังงาน 2.32 μJ ลำแสงเลเซอร์ผ่านเลนส์เพื่อโฟกัสสำเร็จให้ตกระบบที่วัสดุเกิดเป็นคลื่นอัลตราชาوار์ดพร้อมกระจายผ่านของเหลวซึ่งประกอบด้วยน้ำที่ปนเปื้อนน้ำมันดิน โดยของเหลวดังกล่าวถูกเตรียมการขึ้นโดยให้มีความเข้มข้น 400-890 mg l<sup>-1</sup> คลื่นอัลตราชาوار์ดถูกตรวจจับด้วย PZT ที่ทำการเปลี่ยนสัญญาณไฟฟ้าเข้าสู่อสซิลโลสโคป



รูปที่ 13 การทดลองตรวจจับน้ำมันดิบที่ปนเปื้อนในน้ำ [9]

ผลการทดลองในตารางที่ 1 แสดงถึงผลการเพิ่มน้ำมันดิบที่ปนเปื้อนในน้ำมันดิบของสัญญาณโฟโต้อคุสติกเมื่อมีน้ำมันสามารถสรุปได้ว่าสัญญาณโฟโต้อคุสติกสามารถใช้ตรวจสอบการปนเปื้อนของน้ำมันดิบในของเหลวได้

ตารางที่ 1 การเพิ่มน้ำมันดิบของสัญญาณโฟโต้อคุสติก [9]

Sample	Increase in photoacoustic signal (%)
Distilled water	0.0
4% Methanol	7.4
Oil 500 mgL <sup>-1</sup>	4.7
Combined sample	11.7

#### 4. สิ้นopsis (Conclusion)

ปรากฏการณ์โฟโต้อคุสติกเป็นการเปลี่ยนแสงให้กลายเป็นเสียงเป็นเทคโนโลยีใหม่ที่กำลังค้นคว้าวิจัยในขณะนี้สัญญาณโฟโต้อคุสติกสร้างได้จากยิงพัลส์เลเซอร์ไปยังสื่อน้ำที่เป็นก๊าซหรือของเหลว กลไกการเกิดที่สำคัญอยู่ที่ความร้อนจึงมีงานวิจัยบางชิ้นเรียกว่าการณ์นี้ว่าเทอร์โมอคุสติก เมื่อก็ได้ความร้อนขึ้นทำให้เกิดคลื่นความดันในของเหลวซึ่งก่อให้เกิดคลื่นอัลตร้าซาวด์และร่างกระเจาไปยังวัสดุทดสอบและมีทรานส์ดิวเซอร์เป็นตัวเปลี่ยนคลื่นอัลตร้าซาวด์เป็นสัญญาณไฟฟ้า จากนั้นนำไปทำการคำนวณหรือ

วิเคราะห์ต่อด้วยคอมพิวเตอร์ นอกจากนี้สัญญาณโฟโต้อคุสติกมีประโยชน์ในด้านการทดสอบแบบไม่ทำลายและการสร้างภาพทางการแพทย์โดยภาพที่สร้างขึ้นมีคุณภาพสูงเนื่องจากคุณสมบัติของแสงและยังมีความละเอียดสูงจากคุณสมบัติของอัลตร้าซาวด์จากล่าวนี้ได้ว่าเป็นการรวมข้อดีของแสงและเสียงไว้ด้วยกัน ดังนั้นเนื้อเยื่อที่มีขนาดเล็ก (ประมาณ 30 ไมครอน) จึงสามารถมองเห็นได้ โดยจุดเด่นนี้เองจึงมีประโยชน์ต่อการตรวจหาโรคมะเร็งในระยะเริ่มต้นที่มีขนาดเล็กได้ดีในขณะที่เครื่องตรวจประภาก่อนจะทำได้ยากกว่า ซึ่งจะสามารถช่วยแพทย์วินิจฉัยโรคได้ทันท่วงที่อันจะเป็นการเพิ่มโอกาสในการรักษาผู้ป่วยได้มากขึ้น นอกจากนี้สัญญาณโฟโต้อคุสติกยังสามารถใช้หัวพารามิเตอร์ของวัสดุได้ เช่น ความเร็วของอัลตร้าซาวด์ ค่าสัมประสิทธิ์การลดทอน ความหนาแน่น รวมถึงค่าความเข้มข้นของของเหลว และอื่น ๆ

จะเห็นได้ว่าสัญญาณโฟโต้อคุสติกเป็นแนวโน้มเทคโนโลยีใหม่ที่น่าสนใจของแสงและเสียงไว้ด้วยกันซึ่งจะเป็นประโยชน์ต่อไปในอนาคต

#### 5. กิติกรรมประการ (Acknowledgement)

ขอขอบพระคุณ ผศ.ดร.ศิริเดช บุญแสง แห่งห้องปฏิบัติการ PASS LAB (PhotoAcoustic Sensors and Systems LAB) ภาควิชาชีวกรรมอิเล็กทรอนิกส์ คณะวิศวกรรมศาสตร์ สถาบันเทคโนโลยีพระจอมเกล้าเจ้าคุณทหารลาดกระบังที่ให้คำแนะนำอันทรงคุณค่าในส่วนของทฤษฎีแสง

#### 6. เอกสารอ้างอิง (Reference)

- [1] A. G. Bell, "Upon the Production of Sound by Radiant Energy," *Phil.Mag.*, vol. 11, pp. 510-528, 1881.
- [2] D. A. Hutchins, "Ultrasonic Generation by Pulsed Lasers," *Physical Acoustics*, pp. 21-123, 1988.
- [3] A. D. Q. X. Chen, R. J. Dewhurst and P. A. Payne, "Photoacoustic Probe for Intraarterial Imaging and Therapy," *Electronics Letters*, pp. 1632-1633, 1993.



- [4] L. V. Wang, "Ultrasound-medical biophotonic imaging: A review of acousto-optical tomography and photo-acoustic tomography," *Disease Markers*, vol. 19, pp. 123-138, 2004.
- [5] L. M. L. a. K. A. Naugolnykh, "Optical-Generation of Sound-Non-Linear Effects," *Soviet Physics Acoustics-Ussr*, vol. 37, pp. 357-371, 1981.
- [6] X. Wang, Y. Pang, G. Ku, X. Xie, G. Stoica, and L. V. Wang, "Noninvasive laser-induced photoacoustic tomography for structural and functional *in vivo* imaging of the brain," *Nature Biotechnology*, pp. 803-806, 2003.
- [7] I. O. Wygant, X. Zhuang, P. S. Kuo, D. T. Yeh, O. Oralkan, and B. T. Khuri-Yakub, "Photoacoustic imaging using a two-dimensional CMUT array," in *Ultrasonics Symposium, 2005 IEEE*, 2005, pp. 1921-1924.
- [8] B. E. Treeby, B. T. Cox, E. Z. Zhang, S. K. Patch, and P. C. Beard, "Measurement of Broadband Temperature-Dependent Ultrasonic Attenuation and Dispersion Using Photoacoustics," *Ultrasonics, Ferroelectrics and Frequency Control, IEEE Transactions on*, vol. 56, pp. 1666-1676, 2009.
- [9] P. Hodgson, K. M. Quan, H. A. MacKenzie, S. S. Freeborn, J. Hannigan, E. M. Johnston, F. Greig, and T. D. Binnie, "Application of pulsed laser photoacoustic sensors in monitoring oil contamination in water," *Sensors and Actuators B: Chemical*, vol. 29, pp. 339-344, 1995.